



扩散模型

主讲人：苏勤亮

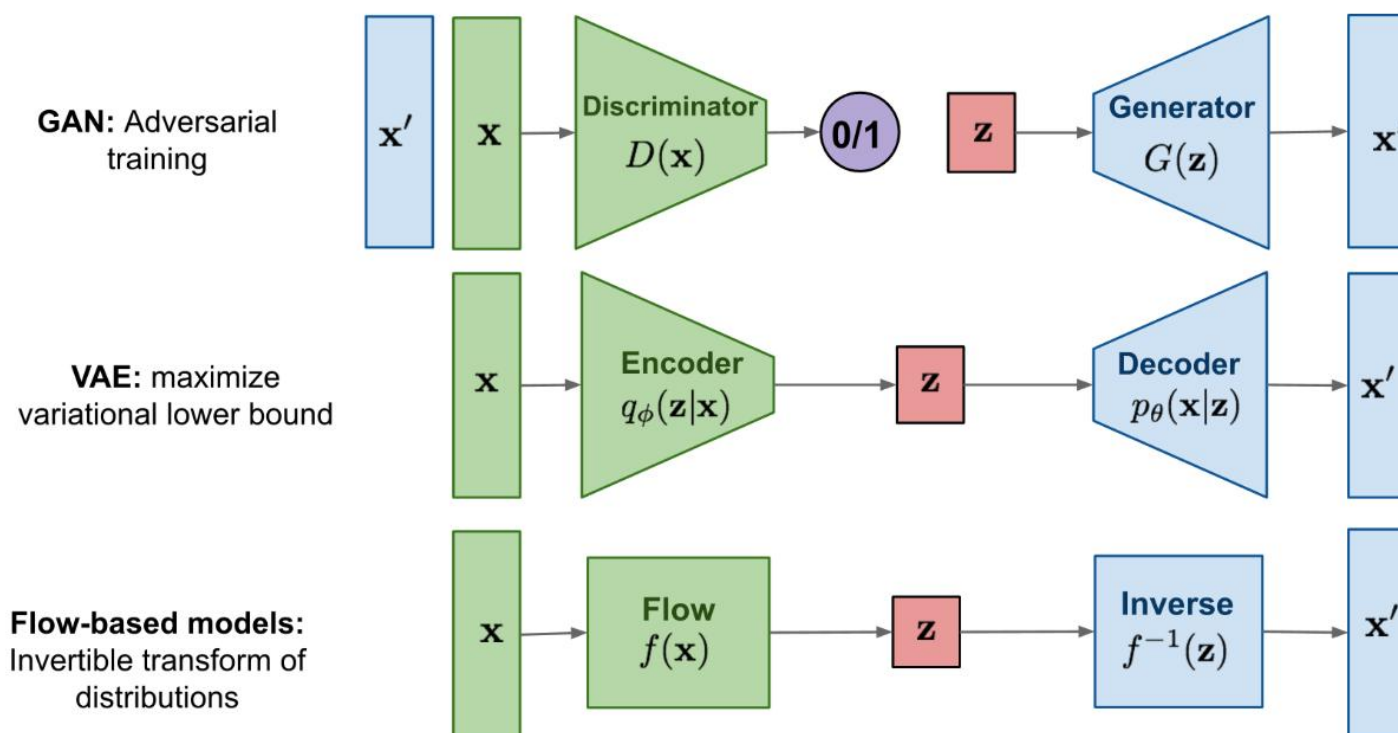


Outline

- 背景
- 扩散模型原理总览
- DDPM原理剖析

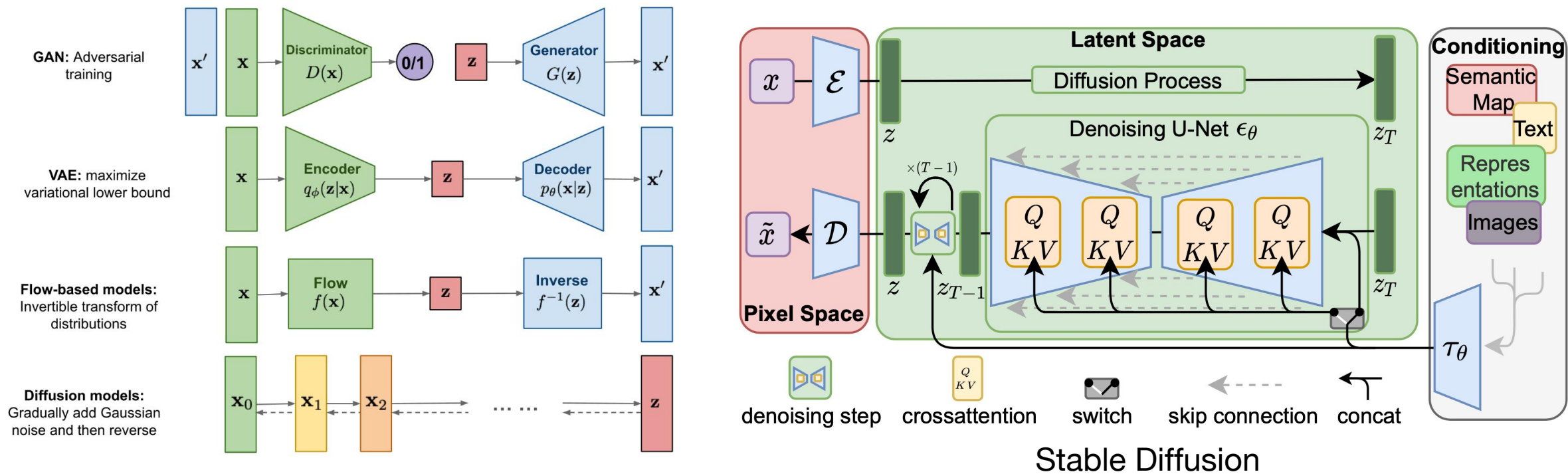
□ 生成模型

- GAN: 训练不稳定, 极难达到纳什均衡, 对超参数敏感, 训练容易崩塌
- VAE: 生成图像模糊, 均方误差和变分近似导致生成的细节丢失, 清晰度不如GAN
- Flow-based Models: 需要专门设计的可逆网络结构, 参数量巨大, 生成高维数据困难



□ 扩散模型的优势

- **训练稳定性**: 不同于GAN的对抗训练，扩散模型的训练本质上是回归问题
- **生成质量**: 扩散模型的生成质量已超越GAN，能够生成极其精细的纹理和复杂的场景
- **可扩展性**: DALL-E 3, Stable Diffusion, Sora 等现代AIGC应用的基石



Outline

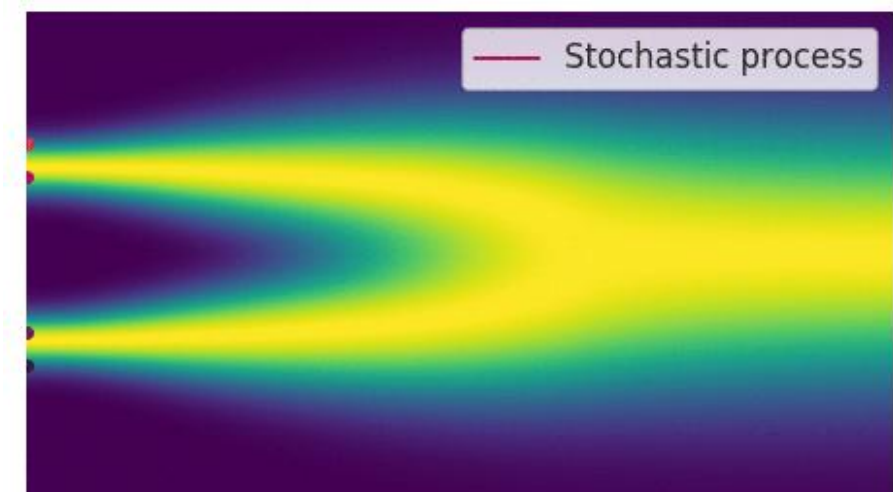
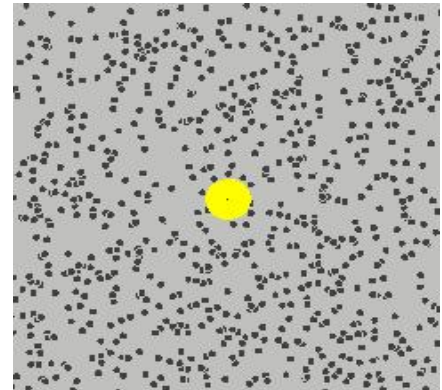
- 背景
- 扩散模型原理总览
- DDPM原理剖析

扩散过程

- 物理学中，扩散过程用于描述分子从高浓度区域向低浓度区域自发迁移、最终达到动态平衡的过程
- 统计学中，扩散过程指描述随机变量随时间演化的过程

$$X_{t+\Delta t} - X_t = \mu(X_t, t)\Delta t + \sigma(X_t, t)\Delta t \cdot \epsilon_t$$

- ϵ_t : 高斯随机噪声 $\epsilon_t \sim \mathcal{N}(0, I)$
- $\mu(X_t, t)$: 漂移项，表示系统的平均趋势



图像扩散过程

1000步加噪过程



给定图像 \mathbf{x} ，对其逐渐添加高斯噪声，同时减弱其强度

$$\mathbf{x}_t = \sqrt{1 - \beta_t} \mathbf{x}_{t-1} + \sqrt{\beta_t} \boldsymbol{\epsilon}_t \quad \text{其中 } \boldsymbol{\epsilon}_t \sim \mathcal{N}(0, \mathbf{I})$$

其中， β_t 表示每次加入噪声的强度，值非常小，如：0.01； $t = 1, 2, \dots, 1000$

想一想，随着时间的增加， \mathbf{x}_t 会逐渐变成什么？

高斯噪声，即： $\mathbf{x}_T \sim \mathcal{N}(0, \mathbf{I})$

扩散模型的基本原理

加噪过程



$$\text{前向扩散过程: } \mathbf{x}_t = \sqrt{1 - \beta_t} \mathbf{x}_{t-1} + \sqrt{\beta_t} \boldsymbol{\epsilon}_t$$

训练一个模型，用于近似扩散过程的逆过程

去噪过程



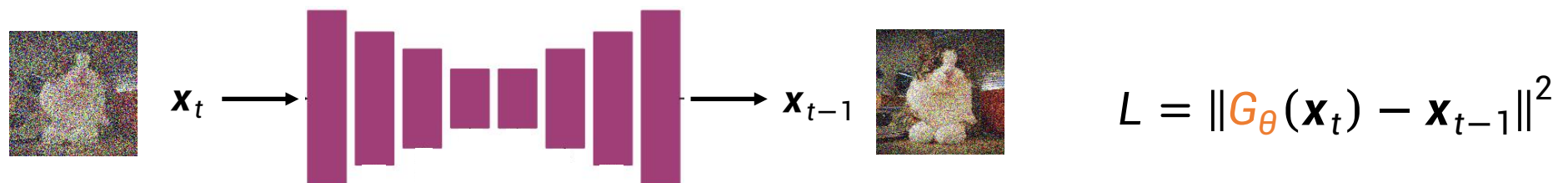
$$\text{近似逆扩散过程: } \hat{\mathbf{x}}_{t-1} = G_{\theta}(\mathbf{x}_t)$$

扩散模型的启发式训练方法 (I)



近似逆扩散过程: $\hat{\mathbf{x}}_{t-1} = G_{\theta}(\mathbf{x}_t)$

□ 思路一: 训练一个神经网络, 用 \mathbf{x}_t 直接预测 \mathbf{x}_{t-1}



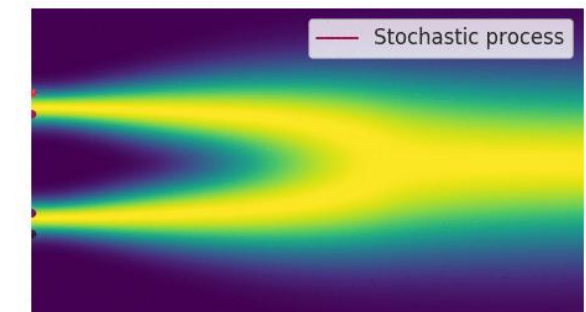
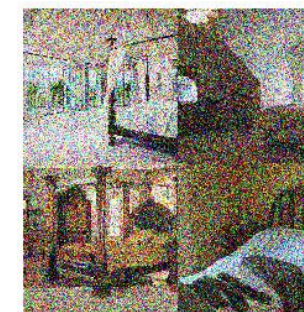
存在的问题: 没有利用扩散过程蕴含的结构信息, 模型被主要用于预测扩散过程中不可预测的随机性, 导致最后效果不好

扩散模型的启发式训练方法 (II)

□ 思路二：充分利用扩散过程所蕴含的结构信息

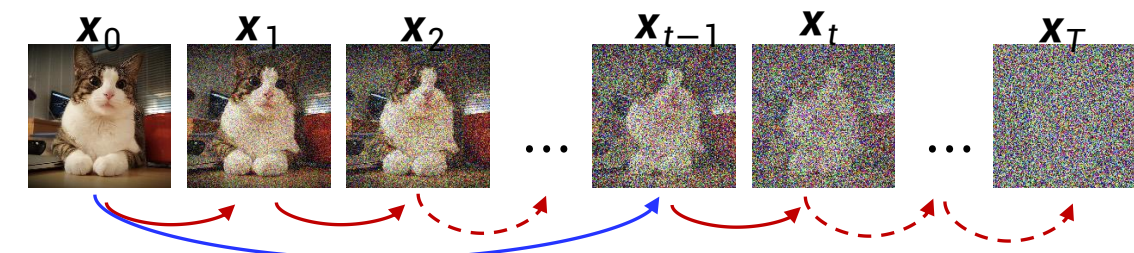
- 扩散过程 $\mathbf{x}_t = \sqrt{1 - \beta_t} \mathbf{x}_{t-1} + \sqrt{\beta_t} \boldsymbol{\epsilon}_t$ 实质上描述的是一个马尔科夫随机过程

$$q(\mathbf{x}_t | \mathbf{x}_{t-1}) = \mathcal{N}(\mathbf{x}_t; \sqrt{1 - \beta_t} \mathbf{x}_{t-1}, \beta_t I)$$



- 0到 $t-1$ 时刻的条件转移概率

$$q(\mathbf{x}_{t-1} | \mathbf{x}_0) = \mathcal{N}(\mathbf{x}_{t-1}; \sqrt{\bar{a}_{t-1}} \mathbf{x}_0, (1 - \bar{a}_{t-1}) I)$$



其中 $\bar{a}_{t-1} \triangleq \prod_{s=1}^{t-1} (1 - \beta_s)$

扩散模型的启发式训练方法 (III)

扩散过程只指定了如下前向加噪过程



$$q(\mathbf{x}_{t-1}|\mathbf{x}_0) = \mathcal{N}(\mathbf{x}_{t-1}; \sqrt{\bar{a}_{t-1}}\mathbf{x}_0, (1 - \bar{a}_{t-1})I)$$

$$q(\mathbf{x}_t|\mathbf{x}_{t-1}) = \mathcal{N}(\mathbf{x}_t; \sqrt{1 - \beta_t}\mathbf{x}_{t-1}, \beta_t I)$$

逆扩散过程：根据贝叶斯定理，在 t 时刻的状态 \mathbf{x}_t 已知时， $t - 1$ 时刻状态 \mathbf{x}_{t-1} 分布为

$$q(\mathbf{x}_{t-1}|\mathbf{x}_t, \mathbf{x}_0) = \frac{q(\mathbf{x}_{t-1}|\mathbf{x}_0) \times q(\mathbf{x}_t|\mathbf{x}_{t-1})}{q(\mathbf{x}_t|\mathbf{x}_0)} = \mathcal{N}(\mathbf{x}_{t-1}; \tilde{\mu}_t(\mathbf{x}_t, \mathbf{x}_0), \tilde{\beta}_t I)$$

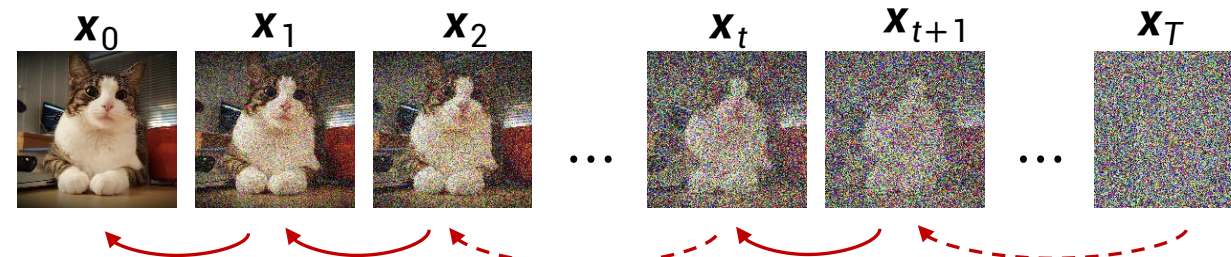
其中 $\tilde{\mu}_t(\mathbf{x}_t, \mathbf{x}_0) = \frac{\sqrt{\bar{a}_{t-1}}\beta_t}{1 - \bar{a}_t} \mathbf{x}_0 + \frac{\sqrt{1 - \beta_t}(1 - \bar{a}_{t-1})}{1 - \bar{a}_t} \mathbf{x}_t$ $\tilde{\beta}_t = \frac{1 - \bar{a}_{t-1}}{1 - \bar{a}_t} \beta_t$

扩散模型的启发式训练方法 (IV)

后验分布 $q(\mathbf{x}_{t-1}|\mathbf{x}_t, \mathbf{x}_0) = \mathcal{N}(\mathbf{x}_{t-1}; \tilde{\boldsymbol{\mu}}_t(\mathbf{x}_t, \mathbf{x}_0), \tilde{\boldsymbol{\beta}}_t I)$ 揭示了扩散过程逆过程的采用过程

$$\mathbf{x}_{t-1} = \tilde{\boldsymbol{\mu}}_t(\mathbf{x}_t, \mathbf{x}_0) + \tilde{\boldsymbol{\beta}}_t \cdot \boldsymbol{\epsilon}_t$$

- $\boldsymbol{\epsilon}_t$: 高斯随机噪声 $\boldsymbol{\epsilon}_t \sim \mathcal{N}(0, I)$



思考：是否可以使用上述采用过程来生成数据呢？

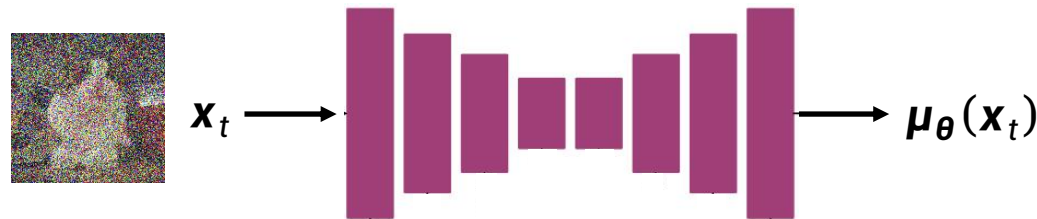
不可以， $\tilde{\boldsymbol{\mu}}_t(\mathbf{x}_t, \mathbf{x}_0)$ 含数据 \mathbf{x}_0 ，而在数据生成阶段，只有 \mathbf{x}_t 可使用

如何解决？



扩散模型的启发式训练方法 (V)

解决思路：训练一个输入为 x_t 的神经网络，要求其输出值 $\mu_\theta(x_t)$ 尽可能逼近 $\tilde{\mu}_t(x_t, x_0)$



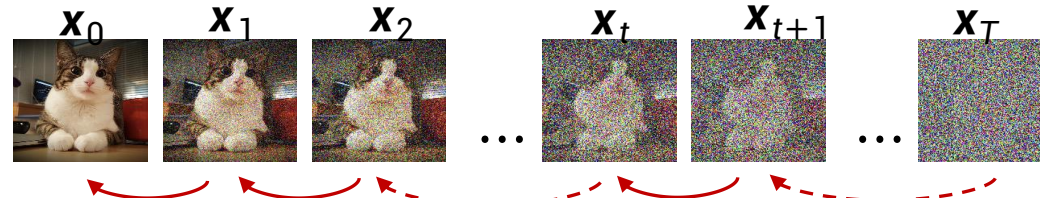
$$\text{Loss} = \sum_{x_0 \in \mathcal{D}} \|\mu_\theta(x_t) - \tilde{\mu}_t(x_t, x_0)\|^2$$

用 $\mu_\theta(x_t)$ 替换 $\tilde{\mu}_t(x_t, x_0)$ 实现数据的采样

$$x_{t-1} = \tilde{\mu}_t(x_t, x_0) + \tilde{\beta}_t \cdot \epsilon_t$$



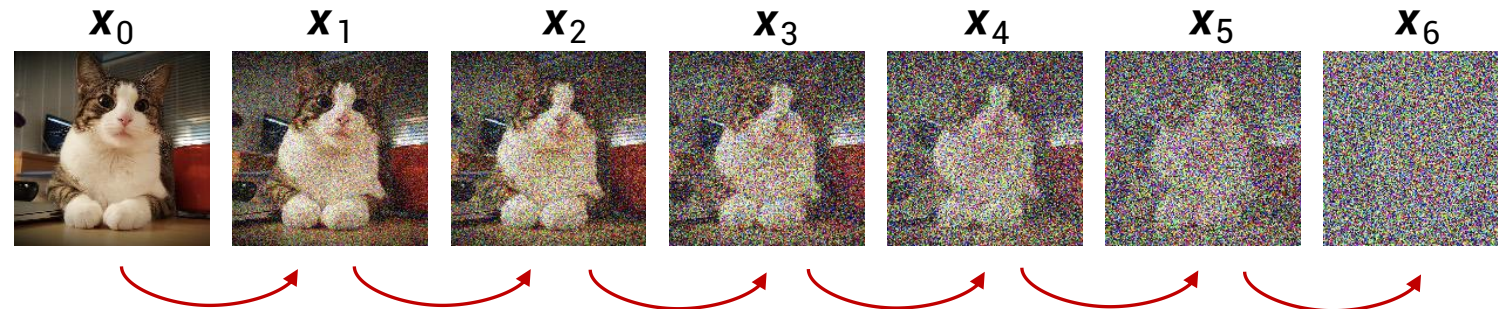
$$x_{t-1} = \mu_\theta(x_t) + \tilde{\beta}_t \cdot \epsilon_t$$



Outline

- 背景
- 扩散模型原理总览
- DDPM原理剖析

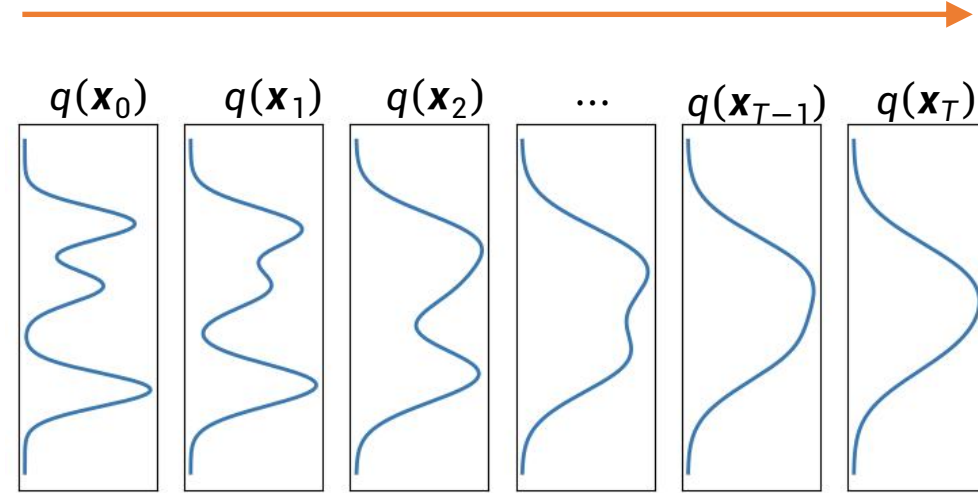
前向扩散过程



- 假设初始的数据分布为 $q(\mathbf{x}_0) = p_{data}(\mathbf{x})$
- 扩散过程可以由转移概率分布来描述

$$q(\mathbf{x}_t | \mathbf{x}_{t-1}) = \mathcal{N}\left(\mathbf{x}_t; \sqrt{1 - \beta_t} \mathbf{x}_{t-1}, \beta_t \mathbf{I}\right)$$

其中 β_t 通常是一个非常小的值，例如 0.01。



□ 若已知 \mathbf{x}_{t-1} ，则样本 $\mathbf{x}_t \sim q(\mathbf{x}_t | \mathbf{x}_{t-1})$ 可通过以下采样过程来获得：

$$\mathbf{x}_t = \sqrt{1 - \beta_t} \mathbf{x}_{t-1} + \sqrt{\beta_t} \boldsymbol{\epsilon}_t \quad \text{其中 } \boldsymbol{\epsilon}_t \sim \mathcal{N}(0, \mathbf{I})$$

问题 1：为什么我们要在 \mathbf{x}_{t-1} 的前面乘上系数 $\sqrt{1 - \beta_t}$? (防止方差爆炸)

问题 2：当 T 趋于无穷大时， $q(\mathbf{x}_T)$ 是什么分布? (正态分布)

□ 若已知 x_{t-1} ，则样本 $x_t \sim q(x_t|x_{t-1})$ 可通过以下采样过程来获得：

$$x_t = \sqrt{1 - \beta_t} x_{t-1} + \sqrt{\beta_t} \epsilon_t \quad \text{其中 } \epsilon_t \sim \mathcal{N}(0, I)$$

问题 1：为什么我们要在 x_{t-1} 的前面乘上系数 $\sqrt{1 - \beta_t}$ ？

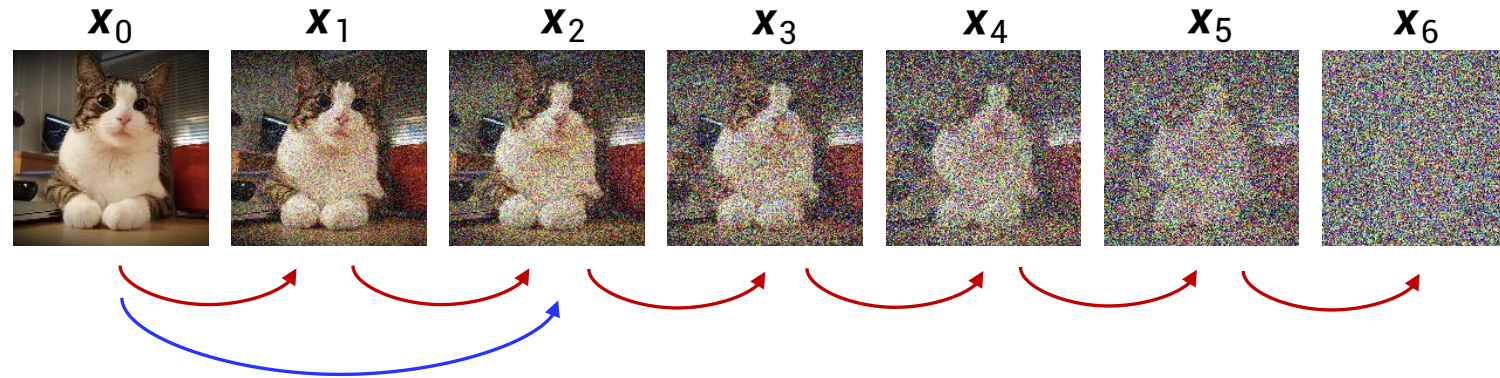
在扩散模型的前向过程中，我们在每一步都向图像中添加高斯噪声。为了确保数据在经过多次加噪后数值范围不会无限扩大（即防止方差爆炸），我们需要对原始信号 x_{t-1} 进行缩放

假设 x_{t-1} 的方差已经归一化为 1，如果我们希望 x_t 的方差保持为 1，计算如下

$$\begin{aligned} \text{Var}(x_t) &= \text{Var}(\sqrt{1 - \beta_t} x_{t-1}) + \text{Var}(\sqrt{\beta_t} \epsilon_t) \\ &= (\sqrt{1 - \beta_t})^2 \text{Var}(x_{t-1}) + (\sqrt{\beta_t})^2 \text{Var}(\epsilon_t) \\ &= (1 - \beta_t) \cdot 1 + \beta_t \cdot 1 = 1 \end{aligned}$$

系数 $\sqrt{1 - \beta_t}$ 的作用是抵消加入噪声 $\sqrt{\beta_t} \epsilon_t$ 后带来的方差增加。如果不乘这个系数，随着 t 的增加，图像的像素值方差会越来越大（方差爆炸）

$$\text{已知 } q(\mathbf{x}_1|\mathbf{x}_0) = \mathcal{N}(\mathbf{x}_1; \sqrt{1-\beta_1}\mathbf{x}_0, \beta_1\mathbf{I})$$



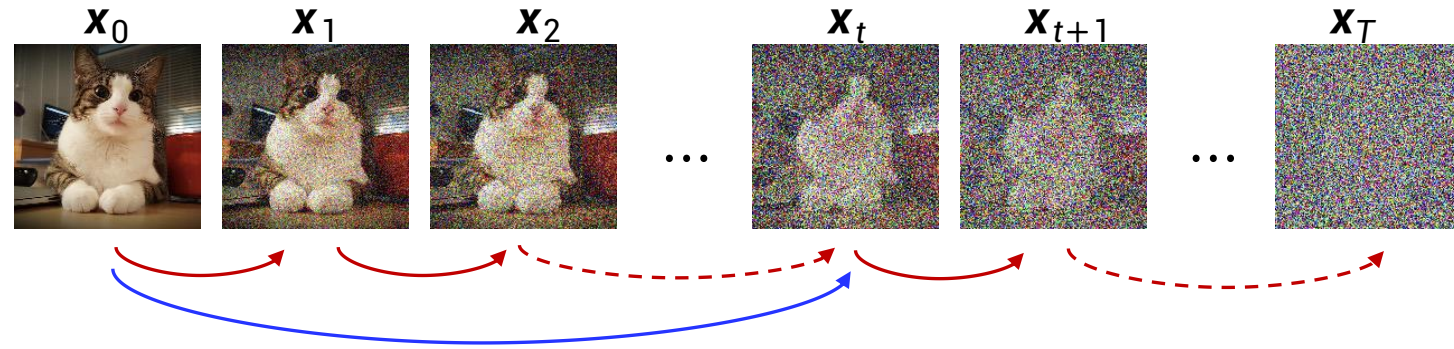
分布 $q(\mathbf{x}_2|\mathbf{x}_0)$ 的形式是什么？

$$\begin{aligned}\mathbf{x}_2 &= \sqrt{1-\beta_2}\mathbf{x}_1 + \sqrt{\beta_2}\boldsymbol{\epsilon}_2 \\ &= \sqrt{1-\beta_2}(\sqrt{1-\beta_1}\mathbf{x}_0 + \sqrt{\beta_1}\boldsymbol{\epsilon}_1) + \sqrt{\beta_2}\boldsymbol{\epsilon}_2 \\ &= \sqrt{(1-\beta_2)(1-\beta_1)}\mathbf{x}_0 + \sqrt{(1-\beta_2)\beta_1}\boldsymbol{\epsilon}_1 + \sqrt{\beta_2}\boldsymbol{\epsilon}_2\end{aligned}$$

$$\rightarrow \mathbb{E}[\mathbf{x}_2] = \sqrt{(1-\beta_2)(1-\beta_1)}\mathbf{x}_0 \quad \text{Var}[\mathbf{x}_2] = 1 - (1-\beta_2)(1-\beta_1)$$

$$\rightarrow q(\mathbf{x}_2|\mathbf{x}_0) = \mathcal{N} \left(\mathbf{x}_2; \sqrt{(1-\beta_1)(1-\beta_2)}\mathbf{x}_0, (1-(1-\beta_2)(1-\beta_1))I \right)$$

那么分布 $q(\mathbf{x}_t|\mathbf{x}_0)$ 是什么形式?



$$q(\mathbf{x}_t|\mathbf{x}_0) = \mathcal{N} \left(\mathbf{x}_t; \sqrt{\prod_{s=1}^t (1-\beta_s)} \mathbf{x}_0, \left(1 - \prod_{s=1}^t (1-\beta_s) \right) I \right)$$

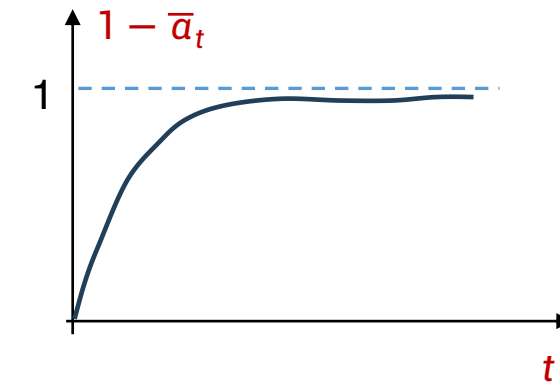
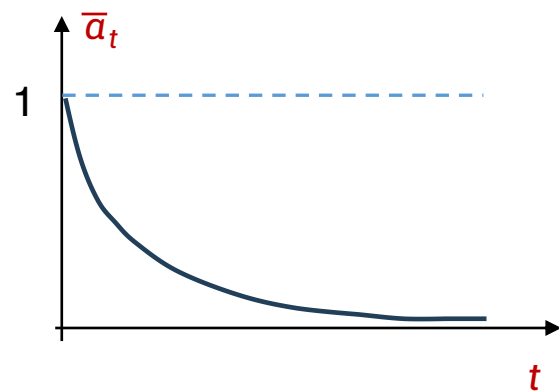
$$= \mathcal{N}(\mathbf{x}_t; \sqrt{\bar{a}_t} \mathbf{x}_0, (1 - \bar{a}_t) I) \quad \text{其中 } \bar{a}_t \triangleq \prod_{s=1}^t (1 - \beta_s)$$

➡ $x_t = \sqrt{\bar{a}_t}x_0 + \sqrt{1 - \bar{a}_t}\epsilon$ 其中 $\epsilon \sim \mathcal{N}(0, I)$

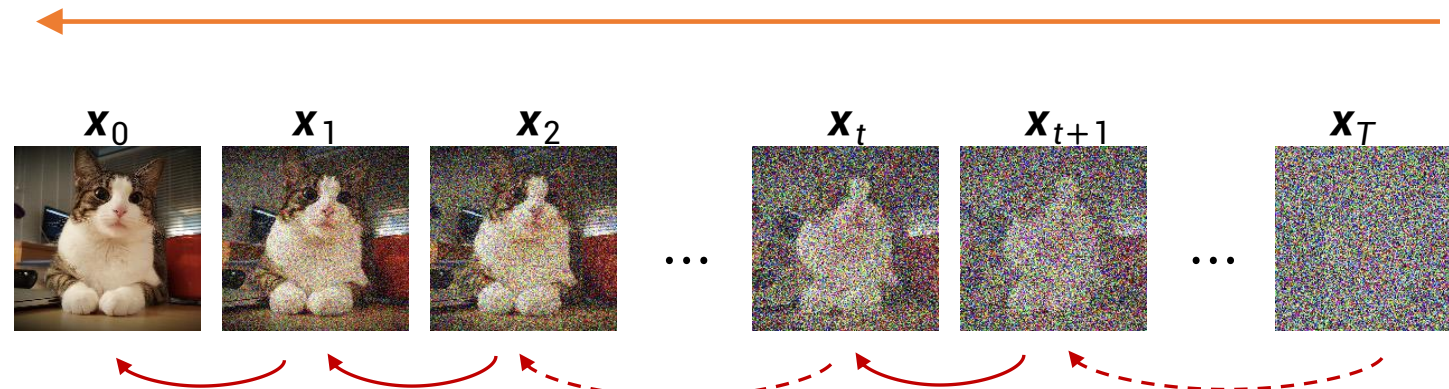
\bar{a}_t 的含义是什么？

$1 - \bar{a}_t$ 代表图像 x_t 中噪声的强度（方差）

\bar{a}_t 代表图像 x_t 中原图像 x_0 的强度



通过逆转扩散过程进行生成



扩散过程规定了一个联合分布：

$$q(\mathbf{x}_0, \mathbf{x}_1, \dots, \mathbf{x}_T) = q(\mathbf{x}_0)q(\mathbf{x}_1|\mathbf{x}_0)\cdots q(\mathbf{x}_t|\mathbf{x}_{t-1})\cdots q(\mathbf{x}_T|\mathbf{x}_{T-1})$$

由于其马尔可夫结构，该分布可以等价地以逆形式表示

$$q(\mathbf{x}_0, \mathbf{x}_1, \dots, \mathbf{x}_T) = q(\mathbf{x}_T)q(\mathbf{x}_{T-1}|\mathbf{x}_T)\cdots q(\mathbf{x}_{t-1}|\mathbf{x}_t)\cdots q(\mathbf{x}_0|\mathbf{x}_1)$$

$$q(\mathbf{x}_0, \mathbf{x}_1, \dots, \mathbf{x}_T) = q(\mathbf{x}_T)q(\mathbf{x}_{T-1}|\mathbf{x}_T)\cdots q(\mathbf{x}_{t-1}|\mathbf{x}_t)\cdots q(\mathbf{x}_0|\mathbf{x}_1)$$

已知当 $T \rightarrow +\infty$ 时， $q(\mathbf{x}_T) = \mathcal{N}(\mathbf{0}, I)$ 。因此，为了从分布 $q(\mathbf{x}_0)$ 中采集样本，我们可以通过以下过程进行采样：

- 1) 初始化 $\mathbf{x}_T \sim q(\mathbf{x}_T)$
- 2) 采样 $\mathbf{x}_{t-1} \sim q(\mathbf{x}_{t-1}|\mathbf{x}_t)$ 对于 $t = T, T-1, \dots, 1$
- 3) 保留 \mathbf{x}_0 ，同时舍弃样本 $\mathbf{x}_1, \mathbf{x}_2, \dots, \mathbf{x}_T$

问题是如何得到转移概率分布 $q(\mathbf{x}_{t-1}|\mathbf{x}_t)$

- 但是 $q(\mathbf{x}_{t-1}|\mathbf{x}_t)$ 是未知的，因为分布 $q(\mathbf{x}_0)$ 是未知的

$q(\mathbf{x}_{t-1}|\mathbf{x}_t, \mathbf{x}_0)$ 分布

- 尽管 $q(\mathbf{x}_{t-1}|\mathbf{x}_t)$ 未知，但在进一步给定 \mathbf{x}_0 条件下，我们可以得到分布 $q(\mathbf{x}_{t-1}|\mathbf{x}_t, \mathbf{x}_0)$
- 根据 $q(\mathbf{x}_{t-1}|\mathbf{x}_0) = \mathcal{N}(\mathbf{x}_{t-1}; \sqrt{\bar{a}_{t-1}}\mathbf{x}_0, (1 - \bar{a}_{t-1})I)$ 及 $q(\mathbf{x}_t|\mathbf{x}_{t-1}) = \mathcal{N}(\mathbf{x}_t; \sqrt{1 - \beta_t}\mathbf{x}_{t-1}, \beta_t I)$ ，我们可以得到联合分布：

$$q(\mathbf{x}_t, \mathbf{x}_{t-1}|\mathbf{x}_0) = \mathcal{N}(\mathbf{x}_t; \sqrt{1 - \beta_t}\mathbf{x}_{t-1}, \beta_t I) \cdot \mathcal{N}(\mathbf{x}_{t-1}; \sqrt{\bar{a}_{t-1}}\mathbf{x}_0, (1 - \bar{a}_{t-1})I)$$

- 从该联合概率密度函数中，我们可以得到后验分布（推导过程见后页补充材料）：

$$q(\mathbf{x}_{t-1}|\mathbf{x}_t, \mathbf{x}_0) = \mathcal{N}(\mathbf{x}_{t-1}; \tilde{\mu}_t(\mathbf{x}_t, \mathbf{x}_0), \tilde{\beta}_t I)$$

其中 $\tilde{\mu}_t(\mathbf{x}_t, \mathbf{x}_0) = \frac{\sqrt{\bar{a}_{t-1}}\beta_t}{1 - \bar{a}_t} \mathbf{x}_0 + \frac{\sqrt{1 - \beta_t}(1 - \bar{a}_{t-1})}{1 - \bar{a}_t} \mathbf{x}_t, \quad \tilde{\beta}_t = \frac{1 - \bar{a}_{t-1}}{1 - \bar{a}_t} \beta_t$

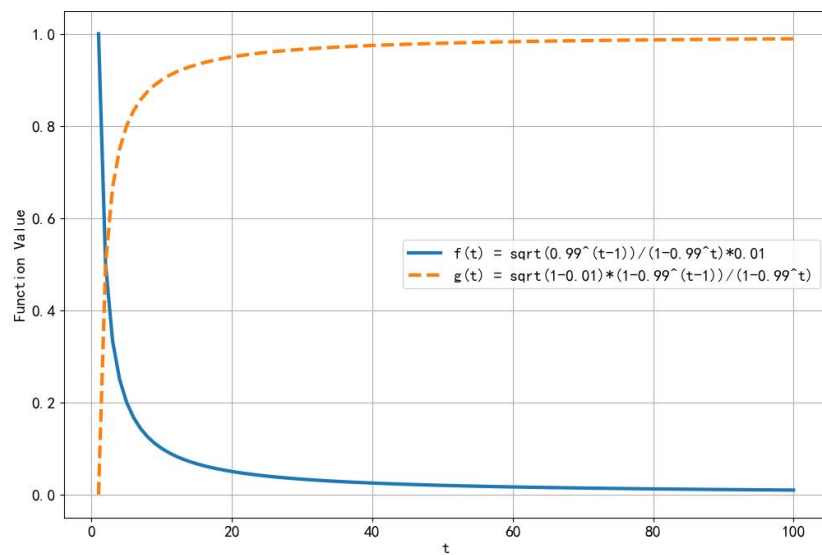
因此，后验分布的形式为

$$q(\mathbf{x}_{t-1} | \mathbf{x}_t, \mathbf{x}_0) = \mathcal{N}(\mathbf{x}_{t-1}; \tilde{\boldsymbol{\mu}}_t(\mathbf{x}_t, \mathbf{x}_0), \tilde{\boldsymbol{\beta}}_t \mathbf{I})$$

其中

$$\tilde{\boldsymbol{\mu}}_t(\mathbf{x}_t, \mathbf{x}_0) = \frac{\sqrt{\bar{a}_{t-1}}\beta_t}{1-\bar{a}_t}\mathbf{x}_0 + \frac{\sqrt{1-\beta_t}(1-\bar{a}_{t-1})}{1-\bar{a}_t}\mathbf{x}_t \quad \tilde{\beta}_t = \frac{1-\bar{a}_{t-1}}{1-\bar{a}_t}\beta_t$$

- 下图显示了当设置 $\beta_t = 0.01$ 时，系数 $\frac{\sqrt{\bar{a}_{t-1}}\beta_t}{1-\bar{a}_t}$ 和 $\frac{\sqrt{1-\beta_t}(1-\bar{a}_{t-1})}{1-\bar{a}_t}$ 随 t 变化的函数关系



- 当 $t \geq 20$ 时，后验均值 $\tilde{\boldsymbol{\mu}}_t$ 主要由 \mathbf{x}_t 决定
- 当 $t < 20$ 时，后验均值 $\tilde{\boldsymbol{\mu}}_t$ 由 \mathbf{x}_t 和 \mathbf{x}_0 共同决定

补充材料：使用“完全平方”技巧推导后验概率

$$\begin{aligned} q(\mathbf{x}_{t-1}|\mathbf{x}_t, \mathbf{x}_0) &\propto \exp\left\{-\frac{1}{2\beta_t}\left(\mathbf{x}_t - \sqrt{1-\beta_t}\mathbf{x}_{t-1}\right)^2\right\} \cdot \exp\left\{-\frac{1}{2(1-\bar{a}_{t-1})}\left(\mathbf{x}_{t-1} - \sqrt{\bar{a}_{t-1}}\mathbf{x}_0\right)^2\right\} \\ &\propto \exp\left\{-\frac{1}{2}\left[\left(\frac{1-\beta_t}{\beta_t} + \frac{1}{1-\bar{a}_{t-1}}\right)\mathbf{x}_{t-1}^2 - 2\left(\frac{\sqrt{1-\beta_t}\mathbf{x}_t}{\beta_t} + \frac{\sqrt{\bar{a}_{t-1}}\mathbf{x}_0}{1-\bar{a}_{t-1}}\right)\mathbf{x}_{t-1}\right]\right\} \end{aligned}$$

→ 后验分布 $q(\mathbf{x}_{t-1}|\mathbf{x}_t, \mathbf{x}_0)$ 的方差和均值为：

$$Var(\mathbf{x}_{t-1}|\mathbf{x}_t, \mathbf{x}_0) = \frac{1}{\frac{1-\beta_t}{\beta_t} + \frac{1}{1-\bar{a}_{t-1}}} = \boxed{\frac{1-\bar{a}_{t-1}}{1-\bar{a}_t}\beta_t}$$

$$E[\mathbf{x}_{t-1}|\mathbf{x}_t, \mathbf{x}_0] = \frac{\frac{\sqrt{1-\beta_t}\mathbf{x}_t}{\beta_t} + \frac{\sqrt{\bar{a}_{t-1}}\mathbf{x}_0}{1-\bar{a}_{t-1}}}{\frac{1-\beta_t}{\beta_t} + \frac{1}{1-\bar{a}_{t-1}}} = \boxed{\frac{\sqrt{1-\beta_t}(1-\bar{a}_{t-1})\mathbf{x}_t}{1-\bar{a}_t} + \frac{\sqrt{\bar{a}_{t-1}}\beta_t\mathbf{x}_0}{1-\bar{a}_t}}$$

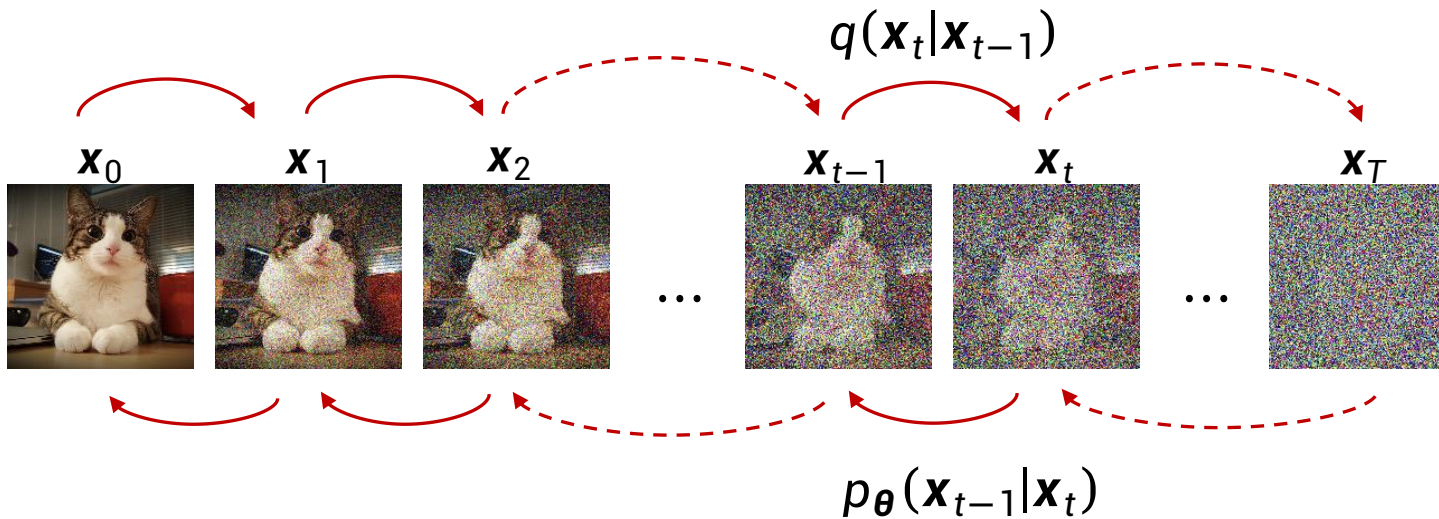
一种启发式生成方法

- 由于无法获得真实图像 \mathbf{x}_0 ，我们不能使用真实的后验分布 $q(\mathbf{x}_{t-1}|\mathbf{x}_t, \mathbf{x}_0)$ 来生成图像
- 一个直观的想法
 - 对于所有 $\mathbf{x}_0 \sim q(\mathbf{x})$ ，学习一个分布 $p_{\theta}(\mathbf{x}_{t-1}|\mathbf{x}_t)$ 来近似真实的后验分布 $q(\mathbf{x}_{t-1}|\mathbf{x}_t, \mathbf{x}_0)$ ，其中 $p_{\theta}(\mathbf{x}_{t-1}|\mathbf{x}_t)$ 设定为如下形式
$$p_{\theta}(\mathbf{x}_{t-1}|\mathbf{x}_t) = \mathcal{N}(\mathbf{x}_{t-1}; \boldsymbol{\mu}_{\theta}(\mathbf{x}_t, t), \tilde{\beta}_t \mathbf{I})$$
 - 使用 $p_{\theta}(\mathbf{x}_{t-1}|\mathbf{x}_t)$ 来生成图像
- 为最小化 $KL(q(\mathbf{x}_{t-1}|\mathbf{x}_t, \mathbf{x}_0) \| p_{\theta}(\mathbf{x}_{t-1}|\mathbf{x}_t))$ ，可以验证等价于 $\min \|\boldsymbol{\mu}_{\theta}(\mathbf{x}_t) - \tilde{\boldsymbol{\mu}}_t(\mathbf{x}_t, \mathbf{x}_0)\|^2$

能否更严谨一点？



一个更严谨的视角



将 $t \geq 1$ 时的 \mathbf{x}_t 视为隐变量，扩散生成模型就是一个多层隐变量模型，其分布为

$$p_{\theta}(\mathbf{x}_0, \mathbf{x}_1, \mathbf{x}_2, \dots, \mathbf{x}_T) = p_{\theta}(\mathbf{x}_0|\mathbf{x}_1) \cdots p_{\theta}(\mathbf{x}_{t-1}|\mathbf{x}_t) \cdots p_{\theta}(\mathbf{x}_{T-1}|\mathbf{x}_T) p(\mathbf{x}_T)$$

其中 $p(\mathbf{x}_0|\mathbf{z}) \triangleq p_{\theta}(\mathbf{x}_0|\mathbf{x}_1)$ 并且 $p(\mathbf{z}) \triangleq p_{\theta}(\mathbf{x}_1|\mathbf{x}_2) \cdots p_{\theta}(\mathbf{x}_{t-1}|\mathbf{x}_t) \cdots p_{\theta}(\mathbf{x}_{T-1}|\mathbf{x}_T) p(\mathbf{x}_T)$

- 对于一个生成模型，一个广泛使用的训练目标是最大化对数似然

$$\frac{1}{|\mathcal{D}|} \sum_{\mathbf{x}_0 \in \mathcal{D}} \log p_{\boldsymbol{\theta}}(\mathbf{x}_0)$$

或其变分下界（仅考虑单个样本 \mathbf{x}_0 ）

$$\begin{aligned} \mathcal{L} &= \int q_{\boldsymbol{\phi}}(\mathbf{z}|\mathbf{x}_0) \log \frac{p_{\boldsymbol{\theta}}(\mathbf{x}_0, \mathbf{z})}{q_{\boldsymbol{\phi}}(\mathbf{z}|\mathbf{x}_0)} d\mathbf{z} \\ &= \int q_{\boldsymbol{\phi}}(\mathbf{x}_1, \dots, \mathbf{x}_T|\mathbf{x}_0) \log \frac{p_{\boldsymbol{\theta}}(\mathbf{x}_0|\mathbf{x}_1) \cdots p_{\boldsymbol{\theta}}(\mathbf{x}_{t-1}|\mathbf{x}_t) \cdots p_{\boldsymbol{\theta}}(\mathbf{x}_{T-1}|\mathbf{x}_T) p(\mathbf{x}_T)}{q_{\boldsymbol{\phi}}(\mathbf{x}_1, \dots, \mathbf{x}_T|\mathbf{x}_0)} d\mathbf{z} \end{aligned}$$

其中隐变量 $\mathbf{z} \triangleq \{\mathbf{x}_1, \dots, \mathbf{x}_T\}$

- 直接将近似后验分布 $q(\mathbf{x}_1, \dots, \mathbf{x}_T | \mathbf{x}_0)$ 设定为如下扩散过程的分布

$$q(\mathbf{x}_1, \dots, \mathbf{x}_T | \mathbf{x}_0) = q(\mathbf{x}_1 | \mathbf{x}_0) \cdots q(\mathbf{x}_t | \mathbf{x}_{t-1}) \cdots q(\mathbf{x}_T | \mathbf{x}_{T-1}),$$

- 变分下界可以写成如下形式

$$\mathcal{L} = \int q(\mathbf{x}_1 | \mathbf{x}_0) \cdots q(\mathbf{x}_T | \mathbf{x}_{T-1}) \log \frac{p_{\theta}(\mathbf{x}_0 | \mathbf{x}_1) \cdots p_{\theta}(\mathbf{x}_{t-1} | \mathbf{x}_t) \cdots p_{\theta}(\mathbf{x}_{T-1} | \mathbf{x}_T) p(\mathbf{x}_T)}{q(\mathbf{x}_1 | \mathbf{x}_0) \cdots q(\mathbf{x}_T | \mathbf{x}_{T-1})} d\mathbf{x}$$

- 这里，后验分布是固定且不可学习的，我们只能学习生成模型中的参数 θ

跟之前学习的VAE有什么区别？

变分下界1的表达式

- 通过一定概率变换操作，可推导变分下界的表达式为（具体见[下页补充材料](#)）：

$$l = \mathbb{E}_{q(\mathbf{x}_1|\mathbf{x}_0)}[\log p_{\boldsymbol{\theta}}(\mathbf{x}_0|\mathbf{x}_1)] - \sum_{t=2}^T \underbrace{\mathbb{E}_{q(\mathbf{x}_t|\mathbf{x}_0)}[KL(q(\mathbf{x}_{t-1}|\mathbf{x}_t, \mathbf{x}_0) \| p_{\boldsymbol{\theta}}(\mathbf{x}_{t-1}|\mathbf{x}_t))] - KL(q(\mathbf{x}_T|\mathbf{x}_0) \| p(\mathbf{x}_T))}_{l_{t-1}}$$

- 将 $q(\mathbf{x}_{t-1}|\mathbf{x}_t, \mathbf{x}_0) = \mathcal{N}(\mathbf{x}_{t-1}; \tilde{\boldsymbol{\mu}}_t(\mathbf{x}_t, \mathbf{x}_0), \tilde{\boldsymbol{\beta}}_t \mathbf{I})$ 和 $p_{\boldsymbol{\theta}}(\mathbf{x}_{t-1}|\mathbf{x}_t) = \mathcal{N}(\mathbf{x}_{t-1}; \boldsymbol{\mu}_{\boldsymbol{\theta}}(\mathbf{x}_t, t), \tilde{\boldsymbol{\beta}}_t \mathbf{I})$ 代入 KL 散度，可以得到

$$l_{t-1} = \mathbb{E}_{q(\mathbf{x}_t|\mathbf{x}_0)} \left[\frac{1}{2\tilde{\beta}_t} \|\tilde{\boldsymbol{\mu}}_t(\mathbf{x}_t, \mathbf{x}_0) - \boldsymbol{\mu}_{\boldsymbol{\theta}}(\mathbf{x}_t, t)\|^2 \right] + C$$

- 因此，最大化变分下界等价于最大化

$$\mathbb{E}_{q(\mathbf{x}_1|\mathbf{x}_0)}[\log p_{\boldsymbol{\theta}}(\mathbf{x}_0|\mathbf{x}_1)] - \sum_{t=2}^{T-1} \mathbb{E}_{q(\mathbf{x}_t|\mathbf{x}_0)} \left[\frac{1}{2\tilde{\beta}_t} \|\tilde{\mu}_t(\mathbf{x}_t, \mathbf{x}_0) - \mu_{\boldsymbol{\theta}}(\mathbf{x}_t, t)\|^2 \right]$$

- 该目标与前述启发式训练目标（最小化 $\|\mu_{\boldsymbol{\theta}}(\mathbf{x}_t) - \tilde{\mu}_t(\mathbf{x}_t, \mathbf{x}_0)\|^2$ ）非常类似，除了两点区别
 - 直观方法不包含数据项 $\mathbb{E}_{q(\mathbf{x}_1|\mathbf{x}_0)}[\log p_{\boldsymbol{\theta}}(\mathbf{x}_0|\mathbf{x}_1)]$
 - 直观方法没有指定如何选择 \mathbf{x}_t ，而变分下界目标明确要求 \mathbf{x}_t 来自于 $q(\mathbf{x}_t|\mathbf{x}_0)$ ，即 $\mathbf{x}_t \sim q(\mathbf{x}_t|\mathbf{x}_0)$

补充材料：变分下界的推导过程

- 重写后验分布

$$\begin{aligned} q(\mathbf{x}_1, \dots, \mathbf{x}_T | \mathbf{x}_0) &= q(\mathbf{x}_1 | \mathbf{x}_0) \cdots q(\mathbf{x}_t | \mathbf{x}_{t-1}) \cdots q(\mathbf{x}_T | \mathbf{x}_{T-1}) \\ &= q(\mathbf{x}_T | \mathbf{x}_0) q(\mathbf{x}_{T-1} | \mathbf{x}_T, \mathbf{x}_0) \cdots q(\mathbf{x}_{t-1} | \mathbf{x}_t, \mathbf{x}_0) \cdots q(\mathbf{x}_1 | \mathbf{x}_2, \mathbf{x}_0) \end{aligned}$$

$q(\mathbf{x}_T | \mathbf{x}_0)$ 和 $q(\mathbf{x}_{t-1} | \mathbf{x}_t, \mathbf{x}_0)$ 的分布是什么？

$$\begin{aligned} q(\mathbf{x}_T | \mathbf{x}_0) &= \mathcal{N}(\mathbf{x}_T; \sqrt{\bar{a}_T} \mathbf{x}_0, (1 - \bar{a}_T) \mathbf{I}) \text{ 其中 } \bar{a}_T \triangleq \prod_{s=1}^T (1 - \beta_s) \\ &\approx \mathcal{N}(\mathbf{x}_T; \mathbf{0}, \mathbf{I}) \end{aligned}$$

$$q(\mathbf{x}_{t-1} | \mathbf{x}_t, \mathbf{x}_0) = \mathcal{N}(\mathbf{x}_{t-1}; \tilde{\boldsymbol{\mu}}_t(\mathbf{x}_t, \mathbf{x}_0), \tilde{\boldsymbol{\beta}}_t \mathbf{I})$$

补充材料：变分下界的推导过程 Cont'

将后验分布代入变分下界，我们得到

$$L = \int q(\mathbf{x}_1|\mathbf{x}_2, \mathbf{x}_0) \cdots q(\mathbf{x}_{T-1}|\mathbf{x}_T, \mathbf{x}_0) q(\mathbf{x}_T|\mathbf{x}_0) \times \log \frac{p_{\theta}(\mathbf{x}_0|\mathbf{x}_1)p_{\theta}(\mathbf{x}_1|\mathbf{x}_2)\cdots p_{\theta}(\mathbf{x}_{T-1}|\mathbf{x}_T)p(\mathbf{x}_T)}{q(\mathbf{x}_1|\mathbf{x}_2, \mathbf{x}_0) \cdots q(\mathbf{x}_{T-1}|\mathbf{x}_T, \mathbf{x}_0) q(\mathbf{x}_T|\mathbf{x}_0)} d\mathbf{x}_1 \cdots d\mathbf{x}_T$$

$$= \int q(\mathbf{x}_1, \dots, \mathbf{x}_T|\mathbf{x}_0) \log p_{\theta}(\mathbf{x}_0|\mathbf{x}_1) d\mathbf{X} \quad \Leftrightarrow \quad \mathbb{E}_{q(\mathbf{x}_1|\mathbf{x}_0)} [\log p_{\theta}(\mathbf{x}_0|\mathbf{x}_1)]$$

$$- \sum_{t=2}^T \int q(\mathbf{x}_1, \dots, \mathbf{x}_T|\mathbf{x}_0) \log \frac{q(\mathbf{x}_{t-1}|\mathbf{x}_t, \mathbf{x}_0)}{p_{\theta}(\mathbf{x}_{t-1}|\mathbf{x}_t)} d\mathbf{X} \quad \Leftrightarrow \quad \mathbb{E}_{q(\mathbf{x}_t|\mathbf{x}_0)} [KL(q(\mathbf{x}_{t-1}|\mathbf{x}_t, \mathbf{x}_0) \| p_{\theta}(\mathbf{x}_{t-1}|\mathbf{x}_t))]$$

$$- \int q(\mathbf{x}_1, \dots, \mathbf{x}_T|\mathbf{x}_0) \log \frac{q(\mathbf{x}_T|\mathbf{x}_0)}{p(\mathbf{x}_T)} d\mathbf{X} \quad \Leftrightarrow \quad KL(q(\mathbf{x}_T|\mathbf{x}_0) \| p(\mathbf{x}_T))$$

- 因此，变分下界可以写为

$$L = \mathbb{E}_{q(\mathbf{x}_1|\mathbf{x}_0)} [\log p_{\theta}(\mathbf{x}_0|\mathbf{x}_1)] - \sum_{t=2}^T \mathbb{E}_{q(\mathbf{x}_t|\mathbf{x}_0)} [KL(q(\mathbf{x}_{t-1}|\mathbf{x}_t, \mathbf{x}_0) \| p_{\theta}(\mathbf{x}_{t-1}|\mathbf{x}_t))] - KL(q(\mathbf{x}_T|\mathbf{x}_0) \| p(\mathbf{x}_T))$$

重写 $\tilde{\mu}_t(x_t, x_0)$ 的表达式

$$\tilde{\mu}_t(x_t, x_0) = \frac{\sqrt{\bar{a}_{t-1}}\beta_t}{1-\bar{a}_t}x_0 + \frac{\sqrt{1-\beta_t}(1-\bar{a}_{t-1})}{1-\bar{a}_t}x_t$$

- 回顾 $x_t = \sqrt{\bar{a}_t}x_0 + \sqrt{1-\bar{a}_t}\epsilon$ 其中 $\epsilon \sim \mathcal{N}(\mathbf{0}, I)$ 。将 $x_0 = \frac{x_t - \sqrt{1-\bar{a}_t}\epsilon}{\sqrt{\bar{a}_t}}$ 代入 $\tilde{\mu}_t(x_t, x_0)$ 得到

$$\tilde{\mu}_t(x_t, x_0) = \frac{1}{\sqrt{1-\beta_t}} \left(x_t - \frac{\beta_t}{\sqrt{1-\bar{a}_t}} \epsilon \right)$$

- 因此，我们可以将估计的均值 $\mu_{\theta}(x_t, t)$ 显式地约束为如下形式

$$\mu_{\theta}(x_t, t) = \frac{1}{\sqrt{1-\beta_t}} \left(x_t - \frac{\beta_t}{\sqrt{1-\bar{a}_t}} \epsilon_{\theta}(x_t, t) \right)$$

- 也就是说，为估计 $\tilde{\mu}_t$ ，我们只需训练一个神经网络 $\epsilon_{\theta}(x_t, t)$ 来估计所添加的噪声 ϵ

重新表示 l_{t-1}

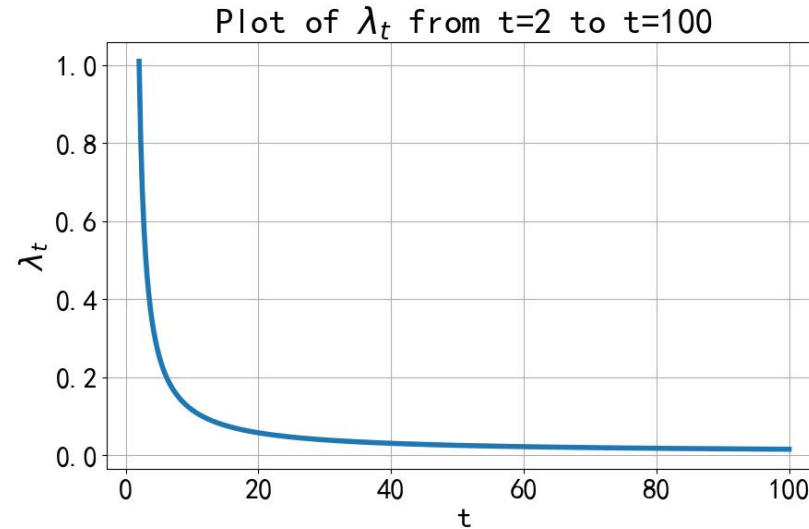
- 将 $\mu_\theta(x_t, t)$ 和 $\tilde{\mu}_t(x_t, x_0)$ 的表达式代入 l_{t-1} 得到

$$l_{t-1} = \mathbb{E}_{\epsilon \sim \mathcal{N}(0, I)} \left[\lambda_t \left\| \epsilon - \epsilon_\theta \left(\underbrace{\sqrt{\bar{a}_t} x_0 + \sqrt{1 - \bar{a}_t} \epsilon, t}_{x_t} \right) \right\|^2 \right] + C$$

其中 $\lambda_t \triangleq \frac{\beta_t^2}{2\tilde{\beta}_t(1-\beta_t)(1-\bar{a}_t)} = \frac{\beta_t}{(1-\beta_t)(1-\bar{a}_{t-1})}$

当最小化损失函数 $\tilde{l} = \sum_{t=1}^T l_{t-1}$ 时，我们实际上是在尝试最大化对数似然 $\log p_\theta(x_0)$

系数 λ_t 过分重视了较小的 t 值

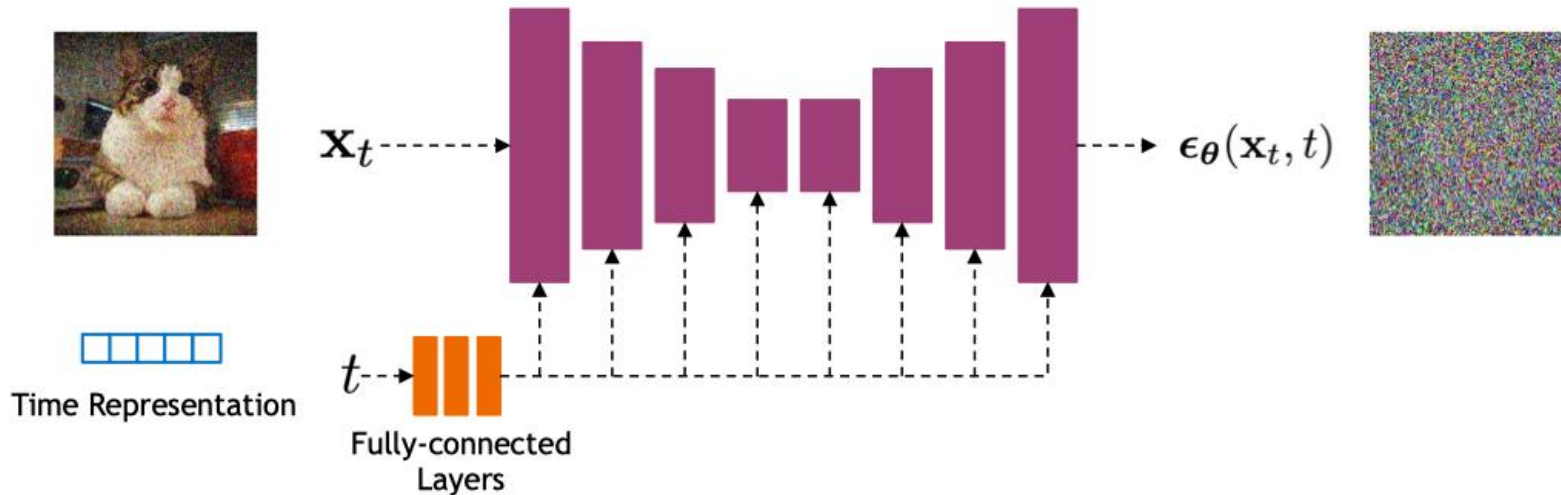


研究发现，通过简单地将所有 t 的 λ_t 设置为 1，我们可以生成更高质量的样本。
也就是说，最大化以下损失函数

$$l_{simple} = \mathbb{E}_{\mathbf{x}_0 \sim q(\mathbf{x}_0), \epsilon \sim \mathcal{N}(\mathbf{0}, I), t \sim U(1, T)} \left[\|\epsilon - \boldsymbol{\epsilon}_{\theta}(\sqrt{a_t} \mathbf{x}_0 + \sqrt{1 - a_t} \epsilon, t)\|^2 \right]$$

$\epsilon_{\theta}(x_t, t)$ 的神经网络架构

使用包含 ResNet 模块的 U-Net 架构来表示 $\epsilon_{\theta}(x_t, t)$



- 时间步编码：正弦函数位置编码或随机傅里叶特征
- 时间特征通过空间加法或自适应组归一化（AGN）输入到残差块中

训练过程

Algorithm 1 Training

```
1: repeat
2:    $\mathbf{x}_0 \sim q(\mathbf{x}_0)$ 
3:    $t \sim \text{Uniform}(\{1, \dots, T\})$ 
4:    $\boldsymbol{\epsilon} \sim \mathcal{N}(\mathbf{0}, \mathbf{I})$ 
5:   Take gradient descent step on
      
$$\nabla_{\theta} \|\boldsymbol{\epsilon} - \boldsymbol{\epsilon}_{\theta}(\sqrt{\bar{\alpha}_t} \mathbf{x}_0 + \sqrt{1 - \bar{\alpha}_t} \boldsymbol{\epsilon}, t)\|^2$$

6: until converged
```

采样过程

Algorithm 2 Sampling

```
1:  $\mathbf{x}_T \sim \mathcal{N}(\mathbf{0}, \mathbf{I})$ 
2: for  $t = T, \dots, 1$  do
3:    $\mathbf{z} \sim \mathcal{N}(\mathbf{0}, \mathbf{I})$  if  $t > 1$ , else  $\mathbf{z} = \mathbf{0}$ 
4:    $\mathbf{x}_{t-1} = \frac{1}{\sqrt{1 - \beta_t}} \left( \mathbf{x}_t - \frac{\beta_t}{\sqrt{1 - \bar{\alpha}_t}} \boldsymbol{\epsilon}_{\theta}(\mathbf{x}_t, t) \right) + \sqrt{\tilde{\beta}_t} \mathbf{z}$ 
5: end for
6: return  $\mathbf{x}_0$ 
```

课堂小结

- 扩散模型原理总览
- DDPM原理剖析